

УДК 541.44.412

## ВЗАИМОДЕЙСТВИЕ ВОДОРОДА С ИНТЕРМЕТАЛЛИЧЕСКИМИ СОЕДИНЕНИЯМИ ТИПА $RT_3$ (R – РЗМ, T – Ni, Co) ПРИ ВЫСОКИХ ДАВЛЕНИЯХ

© 2001 г. С. А. Лушников, С. Н. Клямкин, В. Н. Вербецкий

Московский государственный университет им. М.В. Ломоносова

Поступила в редакцию 3.03.2000 г.

Исследовано взаимодействие в системах  $CeCo_3-H_2$  и  $GdNi_3-H_2$  при давлениях водорода до 0.2 ГПа. На основании анализа изотерм абсорбция-десорбция водорода определен состав гидридных фаз высокого давления:  $CeCo_3H_{6.8}$  ( $-70^{\circ}C$ ) и  $GdNi_3H_{5.1}$  ( $-50^{\circ}C$ ). По данным рентгенофазового анализа дополнительное внедрение водорода при высоком давлении в гидридную фазу на основе  $CeCo_3$  сопровождается незначительным изменением объема решетки. Гидридная фаза на основе  $GdNi_3$  в этих условиях аморфизируется.

### ВВЕДЕНИЕ

Интерметаллические соединения (ИМС)  $RT_3$ , (R – РЗМ, T – Ni, Co) представляют несомненный интерес для теоретических и экспериментальных исследований в качестве матрицы для образования богатых водородом гидридных фаз. Эти интерметаллиды кристаллизуются в структурном типе  $PuNi_3$  или  $CeNi_3$ , который может быть описан чередующимися фрагментами структур  $CaCu_5$  и  $MgZn_2$ . По данным кристаллохимического анализа, предельное содержание водорода в гидридах этого структурного типа – 6, т.е.  $RT_3H_6$  [1]. Более точные расчеты, основанные на данных нейтронной дифракции, предлагают максимальное количество около 5.6 атомов водорода на формульную единицу интерметаллида [2]. Предполагается, что внедрение атомов водорода в  $RT_3$ , вызывающее сильное анизотропное расширение металлической матрицы, приводит к дополнительному образованию свободных тетраэдрических и октаэдрических пустот. По-видимому, их заполнение водородом возможно в случае применения высоких давлений. В работе [3] исследовались интерметаллиды  $RNi_3$  при давлении водорода  $p_{H_2} \leq 0.2$  ГПа. Показано, что для системы  $ErNi_3-H_2$  получен максимальный состав 5.2 Н : ИМС при комнатной температуре, возрастающий до 5.6 Н : ИМС при снижении температуры до 223 К, а для интерметаллидов  $CeNi_3$  и  $CeNi_{2.2}Mn_{0.8}$  он находится в пределах 5.1–5.3 Н : ИМС при комнатной температуре и  $p_{H_2} \leq 0.2$  ГПа.

В данной работе исследовано взаимодействие водорода при  $p_{H_2} \leq 0.2$  ГПа с интерметаллидами  $CeCo_3$  и  $GdNi_3$ .

### МЕТОДИКА ЭКСПЕРИМЕНТА

Исходные сплавы готовили из чистых металлов электродуговой плавкой в инертной атмосфере. Исследуемые образцы отжигали при температуре  $950^{\circ}C$  в вакууме в течение 240 ч. Взаимодействие интерметаллидов с водородом изучали на установке, описанной в [4], при  $p_{H_2} \leq 0.2$  ГПа в интервале температур от  $-195^{\circ}C$  до  $300^{\circ}C$ .

Для расчета количества водорода, абсорбируемого интерметаллидами, использовалось модифицированное уравнение Ван-дер-Ваальса для водорода при высоком давлении [5].

Для дополнительного контроля содержания водорода синтезированные гидриды анализировали методом высокотемпературной вакуумной экстракции водорода. С этой целью навеску образца гидрида массой 0.2–0.4 г помещали в замкнутый объем и после вакуумирования при комнатной температуре нагревали до  $1000^{\circ}C$ . Выделение водорода из гидрида фиксировалось манометром, а его количество определяли волюметрическим методом.

Данные рентгенографического анализа интерметаллидов и гидридов получены на установке ДРОН-2 ( $CoK_{\alpha}$ -,  $CuK_{\alpha}$ -излучение, Ni-фильтр).

### РЕЗУЛЬТАТЫ И ИХ ОБСУЖДЕНИЕ

По данным рентгенофазового анализа, полученные  $CeCo_3$  и  $GdNi_3$  представляли собой однодоменные образцы, кристаллизующиеся в структурном типе  $PuNi_3$ . Значения периодов решетки этих соединений, приведенные в таблице, соответствуют данным [6]. Также практически полное соответствие литературным данным получено при гидрировании этих соединений при  $p_{H_2} = 0.3$  МПа

Рентгенографические данные для интерметаллидов  $\text{CeCo}_3$ ,  $\text{GdNi}_3$  и их гидридов, синтезированных при высоких давлениях (стр. тип  $\text{PuNi}_3$ )

Состав	$a, \text{\AA}$	$\Delta a/a, \%$	$c, \text{\AA}$	$\Delta c/c, \%$	$V, \text{\AA}^3$	$\Delta V/V, \%$
$\text{GdNi}_3$	$4.99 \pm 0.02$	—	$24.46 \pm 0.02$	—	527	—
$\text{GdNi}_3\text{H}_4$ [6]	$5.32 \pm 0.01$	6.1	$27.02 \pm 0.01$	10.0	663	23.8
$\text{GdNi}_3\text{H}_5^*$	—	—	—	—	—	—
$\text{CeCo}_3$	$4.95 \pm 0.02$	—	$24.80 \pm 0.02$	—	529	—
$\text{CeCo}_3\text{H}_4$ [6]	$4.96 \pm 0.01$	0.2	$32.69 \pm 0.01$	31.8	697	32.1
$\text{CeCo}_3\text{H}_{6.1}$	$5.03 \pm 0.03$	1.6	$32.98 \pm 0.02$	33.0	723	36.8

\* Рентгеноаморфные продукты указанного состава.

[6, 7]. Для предотвращения образования рентгеноаморфных продуктов при синтезе гидридов водород подавался небольшими порциями (0.01 МПа), последовательно до состояния насыщения гидрида. Полученные данные приведены ниже в сопоставлении с результатами [7] ( $p_{\text{H}_2} = 0.3 \text{ МПа}, t = 20^\circ\text{C}$ ):

ИМС	$\text{CeCo}_3$	$\text{GdNi}_3$
$\text{H : ИМС}$	4.4	2.6
$\text{H : ИМС}$ [7]	4.5	2.7

Изотермы абсорбции-десорбции водорода  $\text{CeCo}_3$  и  $\text{GdNi}_3$  при  $t = 20, -50$  и  $-70^\circ\text{C}$  и  $p_{\text{H}_2} \leq 0.2 \text{ ГПа}$  представлены на рис. 1, 2.

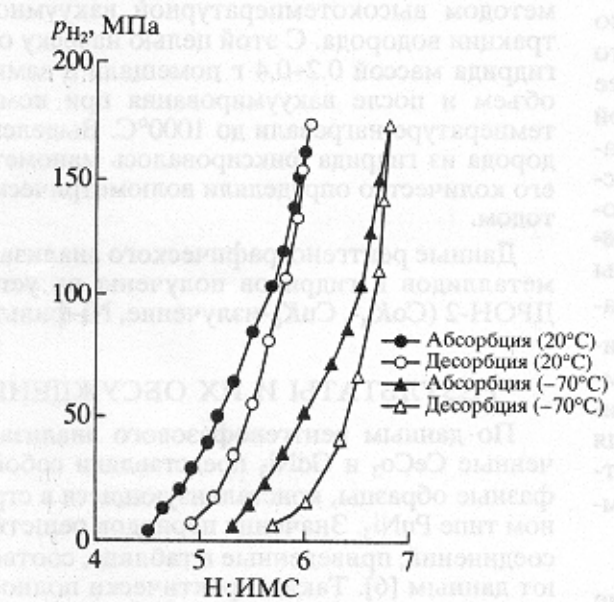


Рис. 1. Изотермы абсорбции-десорбции водорода в системе  $\text{CeCo}_3\text{-H}_2$ .

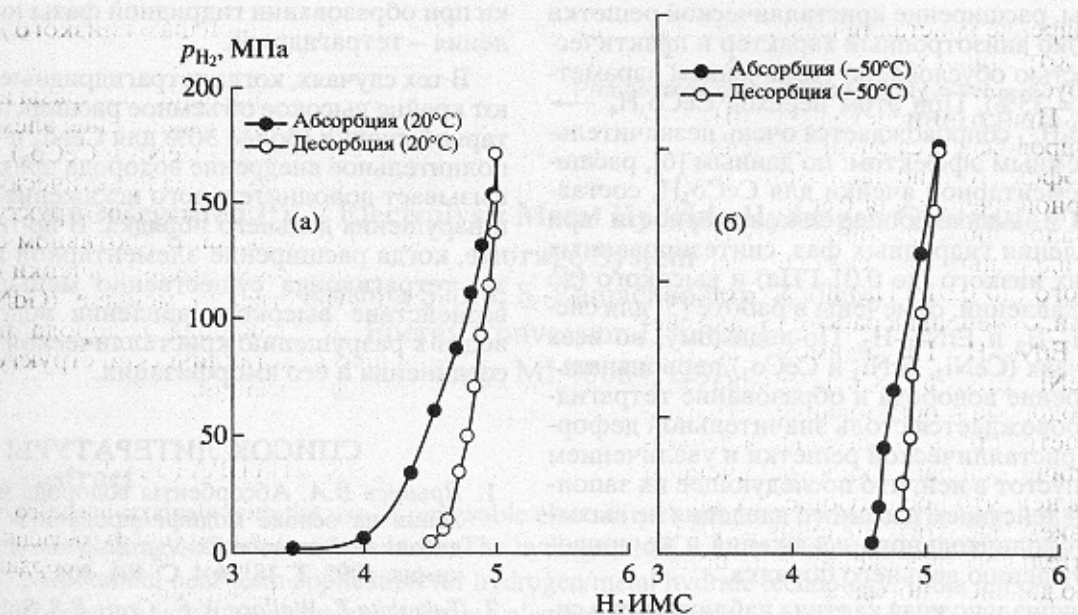
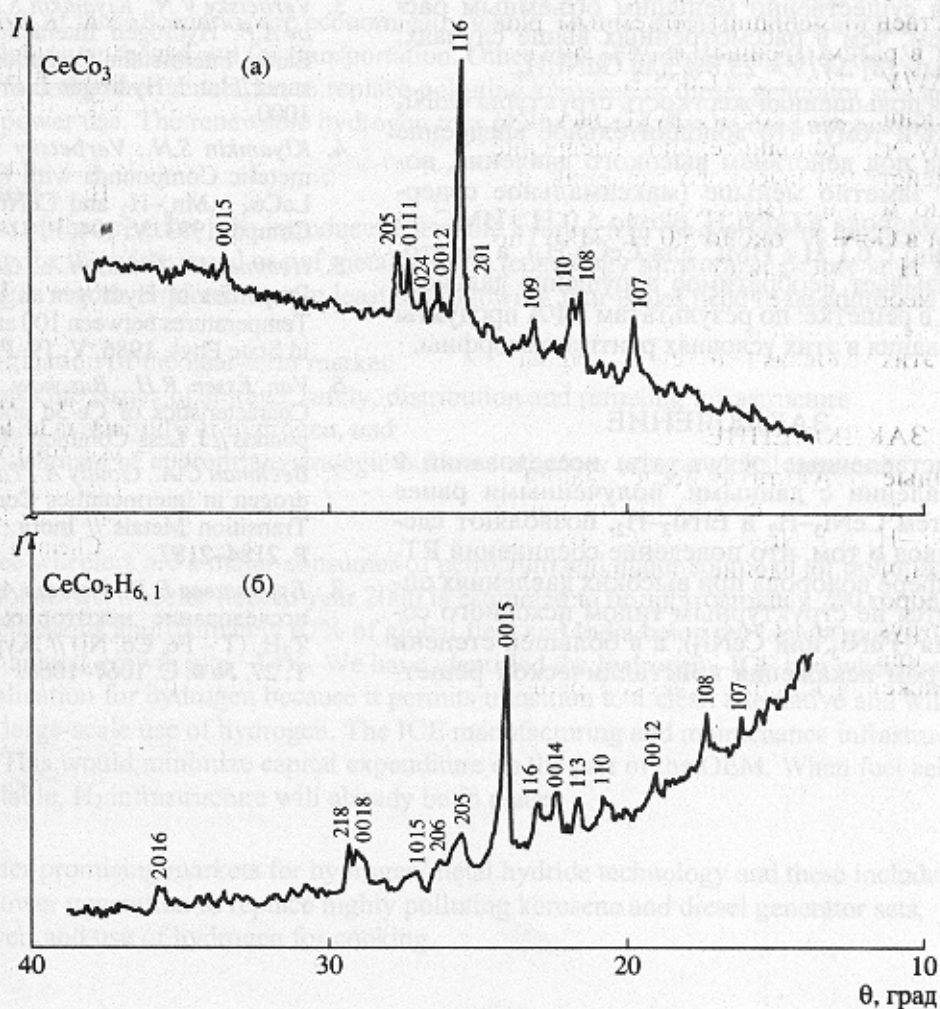
Для системы  $\text{CeCo}_3\text{-H}_2$  первый цикл абсорбции-десорбции водорода был проведен при низкой температуре. При  $p_{\text{H}_2} = 0.173 \text{ ГПа}$  образуется гидрид состава  $\text{CeCo}_3\text{H}_{6.1}$ , который выше абсорбированный при высоком давлении водорода состава  $\text{CeCo}_3\text{H}_{4.9}$ .

При низкой температуре происходит дополнительная абсорбция водорода с образованием гидрида  $\text{CeCo}_3\text{H}_{6.8}$ . Однако при этом происходит только дополнительное поглощение водорода и увеличение стабильности гидридной фазы при давлении. Заметное количество водорода начинает выделяться только при  $p_{\text{H}_2} < 0.05 \text{ ГПа}$ . Как и в случае  $\text{CeNi}_3$  и  $\text{ErNi}_3$  [3], после выделения при высоком давлении и низкой температуре в системе  $\text{CeCo}_3\text{-H}_2$  нарушается полная обратимость абсорбции-десорбции водорода: при снижении давления до атмосферного содержание водорода в гидриде отличается от исходного и соответствует составу  $\text{CeCo}_3\text{H}_{5.7}$ .

В случае  $\text{GdNi}_3$  абсорбция водорода при низкой температуре и при  $p_{\text{H}_2} = 0.17 \text{ ГПа}$  приводит к образованию гидрида с соотношением  $\text{H : ИМС}$  равным 5.0. Как видно из рис. 2б, снижение температуры до  $-50^\circ\text{C}$  практически не изменяет изотерму в системе  $\text{GdNi}_3\text{-H}_2$ .

Для фиксации количества водорода в гидридных фазах, синтезированных в условиях высокого давления, образцы подвергали охлаждению температуры  $-196^\circ\text{C}$  в жидким азоте. Затем изолированные из ампулы и после непродолжительной выдержки на воздухе проводили (таблица).

Рентгенографическое исследование гидридов высокого давления показало, что фаза с минимальным содержанием водорода на основе  $\text{CeCo}_3$  — гидрид  $\text{CeCo}_3\text{H}_{6.1}$  — сохраняет структуру исходного соединения, при этом увеличивается объем элементарной ячейки на 36.8% (таблица). Как видно из

Рис. 2. Изотермы абсорбции–десорбции водорода в системе  $\text{GdNi}_3\text{-H}_2$ .Рис. 3. Дифрактограммы CeCo<sub>3</sub> (а) и CeCo<sub>3</sub>H<sub>6.1</sub> (б).

и таблицы, расширение кристаллической решетки имеет резко анизотропный характер и практически полностью обусловлено увеличением параметра  $c$  ( $c/c = 33\%$ ). При этом переход  $\text{CeCo}_3\text{H}_4 \rightarrow \text{CeCo}_3\text{H}_{6.1}$  сопровождается очень незначительным объемным эффектом: по данным [6], расширение элементарной ячейки для  $\text{CeCo}_3\text{H}_4$  составляет 32.1%. Аналогичные закономерности при сопоставлении гидридных фаз, синтезированных в условиях низкого (до 0.01 ГПа) и высокого (до 0.2 ГПа) давлений, отмечены в работе [3] для систем  $\text{CeNi}_3-\text{H}_2$  и  $\text{ErNi}_3-\text{H}_2$ . По-видимому, во всех трех случаях ( $\text{CeNi}_3$ ,  $\text{ErNi}_3$  и  $\text{CeCo}_3$ ) первоначальное внедрение водорода и образование тетрагидрида сопровождается столь значительной деформацией кристаллической решетки и увеличением размера пустот в ней, что последующее их заполнение под действием высокого давления не вызывает ее дополнительного искажения и не приводит к нарушению дальнего порядка.

Принципиально иная картина наблюдается в системе  $\text{GdNi}_3-\text{H}_2$ . Гидридная фаза низкого давления, близкая по составу к тетрагидриду, характеризуется существенно меньшим объемным расширением, чем в рассмотренных выше случаях: по данным [8]  $\Delta V/V = 23.8\%$  для  $\text{GdNi}_3\text{H}_4$ .

Такая повышенная жесткость структуры  $\text{GdNi}_3$  приводит к тому, что дополнительное внедрение водорода под действием высокого давления, во-первых, заметно меньше (максимальное содержание водорода в  $\text{GdNi}_3\text{H}_x$  около 5.0 Н : ИМС по сравнению с 6.1 Н : ИМС для  $\text{CeCo}_3\text{H}_x$ ), а во-вторых, вызывает необратимое нарушение дальнего порядка в решетке: по результатам РФА продукты гидрирования в этих условиях рентгеноаморфны.

### ЗАКЛЮЧЕНИЕ

Представленные результаты исследований в сопоставлении с данными, полученными ранее для систем  $\text{CeNi}_3-\text{H}_2$  и  $\text{ErNi}_3-\text{H}_2$ , позволяют сделать вывод о том, что поведение соединений  $\text{RT}_3$  в атмосфере водорода при высоких давлениях определяется не структурным типом исходного соединения ( $\text{PuNi}_3$  или  $\text{CeNi}_3$ ), а в большей степени характером искажения кристаллической решет-

ки при образовании гидридной фазы низкого давления – тетрагидрида.

В тех случаях, когда тетрагидридные фазы имеют крайне высокое объемное расширение элементарной ячейки (более 30% для  $\text{CeNi}_3$  и  $\text{CeCo}_3$ ), дополнительное внедрение водорода практически вызывает дополнительного искажения структуры и нарушения дальнего порядка. В противном случае, когда расширение элементарной ячейки для тетрагидрида существенно меньше ( $\text{GdNi}_3$ ), воздействие высокого давления водорода приводит к разрушению кристаллической структуры соединения и его аморфизации.

### СПИСОК ЛИТЕРАТУРЫ

- Ярытсь В.А. Абсорбенты водорода низкого давления на основе модифицированных оксидов добавками сплавов  $\text{Zr-V}$  и  $\text{Zr-V-Fe}$  // Координационная химия. 1992. Т. 18. № 4. С. 401–408.
- Takeshita T., Wallace W.E., Craig R.S. Solubility of Hydrogen in  $\text{RCO}_3$  Compounds // Inorg. Chem. 1976. V. 13. P. 2283–2284.
- Verbetsky V.N., Klyamkin S.N., Kovriga A.Yu., Belev A.P. Hydrogen Interaction with  $\text{RNi}_3$  ( $\text{R}$  – Earth) Intermetallic Compounds at High Gaseous Pressures // Int. J. Hydrogen Energy. 1996. V. 11/12. P. 1000.
- Klyamkin S.N., Verbetsky V.N. Interaction of metalic Compounds with Hydrogen up to 250 °C in  $\text{LaCo}_{5-x}\text{Mn}_x\text{-H}_2$  and  $\text{CeNi}_3\text{-H}_2$  Systems // J. of Alloys and Compd. 1993. V. 194. P. 41–45.
- Hemmes H., Driessens A., Griessen R. Thermodynamic Properties of Hydrogen at Pressure up to 1 MB in Temperatures between 100 and 1000 K // J. Phys. Condensed Matter Phys. 1986. V. 19. P. 3571–3585.
- Van Essen R.H., Buschow K.H.J. Hydrogen Solubility Characteristics of Ce-3d and Y-3d Intermetallic Compounds // J. Less-Common Met. 1980. V. 70. P. 189–196.
- Beckman C.A., Goudy A., Takeshita T. Solubility of Hydrogen in Intermetallics Containing Rare Earth and Transition Metals // Inorg. Chem. 1976. V. 15. P. 2184–2187.
- Бурнашева В.В., Иванов А.В. Рентгенографическое исследование некоторых гидридных фаз  $\text{R}_2\text{H}_x$  ( $\text{R} = \text{Fe}, \text{Co}, \text{Ni}$ ) // Журн. неорган. химии. 1982. Т. 27. № 4. С. 1067–1068.